

## LAMPIRAN - LAMPIRAN

### E50S Series

#### Diameter ø50mm Shaft type Incremental Rotary Encoder

Line-up

##### ■ Features

- 12-24VDC power supply of line driver output(Line-up)
- Suitable for measuring angle, position, revolution, speed, acceleration and distance
- Power supply : 5VDC, 12-24VDC ±5%



##### ■ Applications

- Various tooling machinery, packing machine and general industrial machinery etc.

Please read "Caution for your safety" in operation manual before using.



##### ■ Ordering information (Former name : ENB)

E50S	8	-	8000	-	3	-	N	-	24	-	
Series	Shaft diameter	Phases/Resolution	Output phase	Output	Power supply	Cable					

Diameter ø50mm, shaft type ø8mm Refer to resolution 2: A, B  
3: A, B, Z  
4: A, B, Z  
5: A, B, Z, T  
T: Totem pole output  
N: NPN open collector output  
V: Voltage output  
L: Line driver output  
5: 5VDC ±5%  
24: 12-24VDC ±5%  
No mark: Cable type  
C: Connector cable type (R)  
CR: Axial connector type  
CR: Radial connector type

\* Standard : E50S-8-8000-3-N-24

##### ■ Specifications

Item	Diameter ø50mm shaft type of incremental rotary encoder	
Resolution(PW) <sup>(1)</sup>	• 1, 2, 5, 10, 12, 15, 20, 25, 30, 35, 40, 45, 50, 60, 75, 100, 120, 125, 150, 192, 200, 240, 250, 256, 300, 360, 400, 500, 512, 600, 800, 1000, 1024, 1200, 1500, 1800, 2000, 2048, 2500, 3000, 3600, 5000, 6000, 8000	
Output phase	A, B, Z phases(Line driver : A, B, Z, T phases)	
Phase difference of output	Phase difference between A and B : $\frac{1}{4} \pm \frac{1}{8}$ (T=1cycle of A phase)	
Control output	Totem pole output : Low - Load current : 30mA, Residual voltage : Max. 0.4VDC High - Load current : Max. 10mA, Output voltage(Power voltage 5VDC) : Min. (Power voltage-2.0)VDC, Output voltage(Power voltage 12-24VDC) : Min. (Power voltage-3.0)VDC NPN open collector output : Load current : Max. 30mA, Residual voltage : Max. 0.4VDC Voltage output : Load current : Max. 10mA, Residual voltage : Max. 0.4VDC Line driver output : Low - Load current : Max. 20mA, Residual : Max. 0.5VDC High - Load current : Max. >30mA, Output voltage(Power voltage 5VDC) : Min. 2.5VDC, Output voltage(Power voltage 12-24VDC) : Min. (Power voltage-3.0)VDC	
Electrical specification	Response time (Peak-Half) Max. : 1μs Max. response frequency : 30kHz Power supply : 5VDC ±5%(P-P: Max. 5%) • 12-24VDC ±5%(P-P: Max. 5%) Current consumption : Max. 80mA(disconnection of the load), Line driver output : Max. 50mA(disconnection of the load) Insulation resistance : Min. 100MΩ(at 500VDC megger between all terminals and case) Dielectric strength : 750VAC 50/60Hz for 1 minute(between all terminals and case) Connection : Cable type, 250mm connector cable type, Connector type(Axial, Radial)	
Mechanical specification	Starting torque : Max. 70gf·cm(0.007N·m) <sup>(2)</sup> / Max. 800gf·cm(0.08N·m) <sup>(3)</sup> Moment of inertia : Max. 80g·cm <sup>2</sup> (8×10 <sup>-6</sup> kg·m <sup>2</sup> ) / Max. 400g·cm <sup>2</sup> (4×10 <sup>-6</sup> kg·m <sup>2</sup> ) Shaft loading : Radial : 10kgf, Thrust : 2.5kgf Max. allowable revolution <sup>(4)</sup> : 5000rpm Vibration : 1.0mm amplitude or 300m/s <sup>2</sup> at frequency of 10 to 55Hz(for 1 min.) in each of X, Y, Z directions for 2 hours Shock : Approx. Max. 75G	
Environment	Ambient temperature : -10 to 70°C, storage : -25 to 85°C Ambient humidity : 35 to 85%RH, storage : 35 to 90%RH	
Protection	Cable type, Connector cable type: IP50(EC standard) <sup>(5)</sup> , Connector type: IP65(EC standard)	
Cable	Ø5, 5-wire, Length : 2m, Shield cable(Line driver output : ø5, 8-wire) (AWG 24, Core diameter : 0.08mm, Number of cores : 40, Insulator outer diameter : ø1)	
Accessory	ø8mm coupling, bracket	
Approval	Cable type  (Except for line driver output)	
Unit weight	Approx. 275g, Connector type : 180g	

(1): "T" pulse is only for A, B phases(Line driver output is for A, B, Z, T phases). (2): This value is for Cable type, Connector cable type(Protection: IP50).

(3): This value is for Cable type, Connector cable type(Protection: IP64)/Connector type (Protection: IP65).

(4): Make sure that max. response revolution should be lower than or equal to max. allowable revolution when selecting the resolution.

(Max. response revolution(rpm)) =  $\frac{\text{Max. response frequency}}{\text{Resolution}} \times 60 \text{ sec}$  | (5): Cable type, Connector cable type is option as IP64 protection.

(Max. response revolution(rpm)) =  $\frac{\text{Max. response frequency}}{\text{Resolution}} \times 60 \text{ sec}$  | (6): Environment resistance is rated at no freezing or condensation.

This chapter describes the electrical and switching characteristics for Cyclone® IV devices. Electrical characteristics include operating conditions and power consumption. Switching characteristics include transceiver specifications, core, and periphery performance. This chapter also describes I/O timing, including programmable I/O elements (IOE) delay and programmable output buffer delay.

This chapter includes the following sections:

- “Operating Conditions” on page 1-1
- “Power Consumption” on page 1-15
- “Switching Characteristics” on page 1-16
- “I/O Timing” on page 1-37
- “Glossary” on page 1-38

## Operating Conditions

When Cyclone IV devices are implemented in a system, they are rated according to a set of defined parameters. To maintain the highest possible performance and reliability of Cyclone IV devices, you must consider the operating requirements described in this chapter.

Cyclone IV devices are offered in commercial, industrial, and automotive grades. Cyclone IV E devices offer -6 (fastest), -7, -8, -8L, and -9L speed grades for commercial devices, -7 and -8L speed grades for industrial devices, and -7 speed grade for automotive devices. Cyclone IV GX devices offer -6 (fastest), -7, and -8 speed grades for commercial devices and -7 speed grade for industrial devices.

For more information about the supported speed grades for respective Cyclone IV devices, refer to the [Cyclone IV FPGA Device Family Overview](#) chapter.

Cyclone IV E devices are offered in core voltages of 1.0 and 1.2 V. Cyclone IV E devices with a core voltage of 1.0 V have an ‘L’ prefix attached to the speed grade.

In this chapter, a prefix associated with the operating temperature range is attached to the speed grades; commercial with a “C” prefix, industrial with an “I” prefix, and automotive with an “A” prefix. Therefore, commercial devices are indicated as C6, C7, C8, C8L, or C9L per respective speed grade. Industrial devices are indicated as I7, I8, or I8L. Automotive devices are indicated as A7.

**TOSHIBA****TLP250**

TOSHIBA Photocoupler GaAlAs Ired &amp; Photo-IC

**TLP250**

Transistor Inverter

Inverter For Air Conditionor

IGBT Gate Drive

Power MOS FET Gate Drive

The TOSHIBA TLP250 consists of a GaAlAs light emitting diode and a integrated photodetector.

This unit is 8-lead DIP package.

TLP250 is suitable for gate driving circuit of IGBT or power MOS FET.

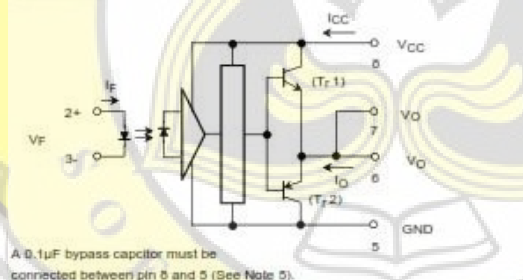
- Input threshold current:  $I_F=5\text{mA}(\text{max.})$
- Supply current ( $I_{CC}$ ):  $11\text{mA}(\text{max.})$
- Supply voltage ( $V_{CC}$ ):  $10\text{--}35\text{V}$
- Output current ( $I_O$ ):  $\pm 1.5\text{A}$  (max.)
- Switching time ( $t_{PLH}/t_{PHL}$ ):  $1.5\mu\text{s}(\text{max.})$
- Isolation voltage:  $2500\text{VRms}(\text{min.})$
- UL recognized: UL1577, file No. E67349
- Option (D4) type

VDE approved: DIN VDE0884/06.92, certificate No.76823

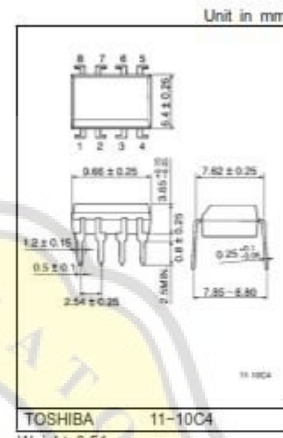
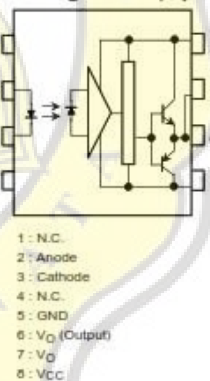
Maximum operating insulation voltage:  $630\text{VPK}$ Highest permissible over voltage:  $4000\text{VPK}$ 

(Note) When a VDE0884 approved type is needed,  
please designate the "option (D4)"

- Creepage distance:  $6.4\text{mm}(\text{min.})$
- Clearance:  $6.4\text{mm}(\text{min.})$

**Schematic****Truth Table**

	Tr1	Tr2
Input LED	On	On
	Off	Off
	On	On

**Pin Configuration (top view)**



## Current Transducer HX 03 ... 50-P

$I_{PN} = 3 \dots 50 A$

For the electronic measurement of currents: DC, AC, pulsed..., with galvanic separation between the primary and the secondary circuit.



### Electrical data

Type	Primary nominal RMS current $I_{PN}$ (A)	Primary current, measuring range $I_P$ (A)	Primary conductor diameter x turns (mm)
HX 03-P	3	$\pm 9$	$0.6 d \times 20 T$
HX 05-P	5	$\pm 15$	$0.8 d \times 12 T$
HX 10-P	10	$\pm 30$	$1.1 d \times 6 T$
HX 15-P	15	$\pm 45$	$1.4 d \times 4 T$
HX 20-P	20	$\pm 60$	$1.6 d \times 3 T$
HX 25-P	25	$\pm 75$	$1.6 d \times 2 T$
HX 50-P	50	$\pm 150$	$1.2 d \times 6.3 \times 1 T$

$U_{out}$   
 $R_L$   
 $R_{int}$   
 $U_C$   
 $I_C$

Output voltage (Analog) @  $\pm I_{PN}$ ,  $R_L = 10 k\Omega$ ,  $T_s = 25^\circ C$   
Load resistance  
Output internal resistance  
Supply voltage ( $\pm 5\%$ )<sup>1)</sup>  
Current consumption

### Accuracy - Dynamic performance data

$e$	Error @ $I_{PN}$ , $T_s = 25^\circ C$ (excluding offset)	$< \pm 1$	% of $I_{PN}$
$e_L$	Linearity error (0 ... $\pm I_{PN}$ )	$< \pm 1$	% of $I_{PN}$
$U_{O.K.}$	Electrical offset voltage @ $T_s = 25^\circ C$	$< \pm 40$	mV
$U_{O.H.}$	Hysteresis offset voltage @ $I_p = 0$ , after an excursion of $1 \times I_{PN}$	$\pm 15$ (typ)	mV
$TCU_{O.H.}$	Temperature coefficient of $U_{O.H.}$	$< \pm 1.5$	mV/K
$TCU_{out}$	Temperature coefficient of $U_{out}$ (% of reading)	$\pm 0.1$	%/K
$t_{90\%}$	Delay time to 90 % of $I_{PN}$	$\leq 3$	$\mu s$
$BW$	Frequency bandwidth (-3 dB) <sup>2)</sup>	50	kHz

### General data

$T_a$	Ambient operating temperature	$-25 \dots +85$	°C
$T_s$	Ambient storage temperature	$-25 \dots +85$	°C
$m$	Mass	8	g
	Standard	EN 50178: 1997	

Notes: <sup>1)</sup>Also operate at  $U_C = \pm 12 V$ , with measuring range reduced to  $\pm 2.5 \times I_{PN}$

<sup>2)</sup>Small signal only to avoid excessive heating of the magnetic cores.

### Features

- Open loop technology current transducer using the Hall effect
- Insulated voltage 3000 V
- Extended measuring range (3 x  $I_{PN}$ )
- Power supply from  $\pm 12 V$  to  $\pm 15 V$
- Insulating plastic case recognized according to UL 94-V0.

### Advantages

- Low insertion losses
- Low power consumption
- Easy to mount with automatic handling system
- Small size and space saving
- Only one design for wide current ratings range
- High immunity to external interference.

### Applications

- AC variable speed drives and servo motor drives
- Static converters for DC motor drives
- Battery supplied applications
- Uninterruptible Power Supplies (UPS)
- Switched Mode Power Supplies (SMPS)
- Power supplies for welding applications.

### Application domain

# Kendali Kecepatan *Switched Reluctance Motor* Berbasis *FPGA*

**Arifin Wibisono**

Program Studi teknik Elektro,  
Fakultas teknik  
Universitas Katolik Soegijapranata  
Jl. Prawiyatan Luhur IV/1 Bendan  
Dhuwur Semarang, Indonesia  
arifin@unika.ac.id

**Slamet Riyadi**

Program Studi teknik Elektro,  
Fakultas teknik  
Universitas Katolik Soegijapranata  
Jl. Prawiyatan Luhur IV/1 Bendan  
Dhuwur Semarang, Indonesia  
riyadi@unika.ac.id

**Sulaiman**

Program Studi teknik Elektro,  
Fakultas teknik  
Universitas Katolik Soegijapranata  
Jl. Prawiyatan Luhur IV/1 Bendan  
Dhuwur Semarang, Indonesia  
17f10009@student.unika.ac.id

**Abstract--** Renewable drive technology is developing in the current era, one of which is electric transportation. The Switched Reluctance Motor (SRM) was chosen for the transportation development because it has many advantages, including not using permanent magnets and simple construction in the form of an iron core in the rotor and stator windings. SRM works based on the reluctance phenomenon, namely, if the stator is energized, the stator will attract the nearby rotor, this is based on the tendency of the rotor poles to align with the stator excitation poles. SRM requires high speed switching control to operate and requires correct rotor position to operate. Maximum switching and good accuracy can use Field-Programmable Gate Array (FPGA) and rotary encoder as input for rotor position information. To use SRM in electric transport, it is necessary to adjust the speed with ease and precision. With the Pulse Width Modulation (PWM) technique, the size of the excitation depends on the size of the current, the size of the current is determined by the input voltage to the SRM. In this control, the PWM width can be changed by setting the carrier set and modulation set in the FPGA program. In this study, it is proposed to control the SRM speed by adjusting the PWM of the rotary encoder to produce the desired RPM. To support the achievement of this research, hardware testing was carried out in the laboratory.

**Keywords--** *Duty cycle, FPGA, PWM, Reluctance, Switched Reluctance Motor.*

## I. PENDAHULUAN

*Switched reluctance motor (SRM)* menjadi kandidat kuat untuk transportasi elektrik karena strukturnya yang sederhana, kokoh, biaya rendah, kemampuan toleransi kesalahan kecil, dan keandalan tinggi. Aplikasi untuk kendaraan listrik *hybrid* (*HEVs*) atau kendaraan listrik (*EVs*) membutuhkan kemampuan pengembangan torka tinggi [1][2]. Untuk mengatur kecepatan pada motor bisa menggunakan mikrokontroler untuk pengaturan lebar pulsanya, akan tetapi *Field Programmable Gate Array (FPGA)* dipilih untuk pengoperasian *SRM* karena memiliki kecepatan kerja yang tinggi dibanding mikrokontroler. *FPGA* digunakan sebagai kendali utama *SRM* karena dapat diprogram/dikonfigurasi di lapangan, untuk melakukan perancangan program menggunakan aplikasi berbahasa *VHDL (VHSIC Hardware Description Language)*. Dengan metode *digital pulse with modulation*, besar kecilnya torka dipengaruhi oleh arus, besar kecilnya arus didapatkan dari masukan tegangan. Metode tersebut menggabungkan blok khusus berfrekuensi tinggi yang

terdapat pada *FPGA* seperti delay *locked-loop* yang dapat mengkalikan frekuensi *clock*[3]. Pengoperasian *SRM* menggunakan konverter asimetris tiga fasa untuk melakukan proses eksitasi dan dibantu dengan *rotary encoder* sebagai pembaca posisi rotornya. Motor ini beroperasi karena fenomena reluktansi dimana saat rotor dan stator berada pada posisi sejajar maka belitan stator mengalami reluktansi minimum dan induktansi maksimum. Sementara itu, induktansi minimum dicapai ketika mereka berada dalam posisi tidak sejajar. Teknik modulasi yang mengubah lebar pulsa dengan frekuensi dan amplitudo tetap untuk mengontrol sirkuit *analog* dengan *output digital* mikroprosesor dikenal sebagai *Pulse Width Modulation (PWM)*. Untuk mengaturnya yaitu dengan mengubah sinyal modulasi pada sinyal *carrier*, makin besar nilai sinyal modulasi maka sinyal *PWM* makin lebar dan sebaliknya. Dengan mengatur *PWM* pada pensaklaran tiap fasa *SRM* kecepatan motor dapat berubah sesuai *duty cycle* yang diberikan.

Dalam penelitian ini penulis bermaksud untuk mengatur kecepatan putaran motor dengan kendali *PWM* pensaklaran tiap fasa untuk menghasilkan RPM yang sesuai pengaturan *duty cycle* yang diberikan. Dengan metode pengaturan *PWM* tiap fasa, perubahan speed motor elektrik *SRM* dapat diketahui dengan melihat hasil kecepatan pada *tachometer* dan keluaran *PWM* tiap fasa *SRM* di osiloskop. Untuk memvalidasi penelitian ini maka dilakukan pengujian *hardware* secara langsung di laboratorium.

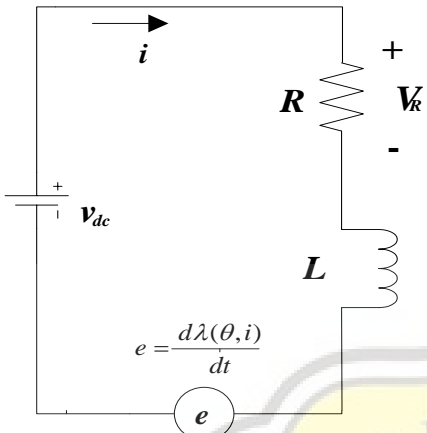
## II. METODOLOGI PENELITIAN

### A. PRINSIP KERJA SRM

*SRM* merupakan motor listrik yang mempunyai konstruksi sederhana pada bagian rotor yaitu berupa inti besi dan stator berupa belitan[4]. Pada bagian rotor yang tidak terdapat magnet dan belitan membuat motor ini dapat berputar dengan kecepatan tinggi[5][6]. *SRM* memiliki torka awal yang tinggi sehingga memiliki efisiensi yang tinggi dibandingkan motor listrik lainnya. Motor ini beroperasi karena fenomena reluktansi. Ketika stator dan rotor berada pada posisi sejajar (*aligned*), belitan stator memiliki induktansi maksimum dan reluktansi minimum. Sementara itu, induktansi minimum dicapai ketika mereka berada dalam posisi tidak sejajar (*unaligned*)[7][8].

## Kendali Kecepatan Switched Reluctance Motor Berbasis FPGA

Rangkaian ekivalen yang ditunjukkan pada Gambar 1 yang terdiri dari hambatan atau resistansi ( $R$ ), induktansi ( $L$ ), dan *Electromotive force* (*EMF*). Pada saat motor berputar, belitan stator *SRM* menghasilkan *back-EMF* atau memiliki polaritas tegangan yang berbanding terbalik dengan sumber[9].



Gambar 1. Rangkaian ekivalen *SRM*

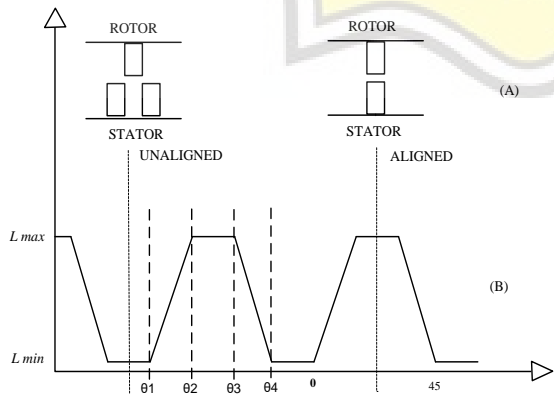
Dari rangkaian Gambar 1 ekivalen di atas, maka didapatkan persamaan tegangan pada *SRM* sebagai berikut:

$$V_{dc} = R \cdot i + L \frac{di}{dt} + e \quad (1)$$

$$V \cdot d = i \cdot R + L \frac{di}{dt} + \omega \cdot i \frac{dL}{d\theta} \quad (2)$$

di mana  $V$  sebagai tegangan,  $i$  arus fasa,  $R$  hambatan,  $L$  induktansi,  $\theta$  posisi rotor, dan  $\omega$  kecepatan motor. Dengan menambahkan  $d$  sebagai *duty cycle* pada ekivalen motor maka besaran tegangan sebenarnya pada *SRM* berbasis *PWM* dapat diketahui.

*SRM* yang digunakan menggunakan kontruksi dua belas stator dan delapan rotor, setiap belitan statornya menghasilkan karakteristik induktansi terkait dengan posisi rotornya.



Gambar 2. (a) posisi rotor terhadap stator (b) profil induktansi

Gambar 2 menunjukkan bahwa *SRM* beroperasi pada saat meningkatnya induktansi, hal ini didasari pada

posisi rotor yang tidak sejajar (*unaligned*) dengan stator di posisi sejajar(*aligned*). *SRM* memiliki hasil empat profil induktansi pada setiap putarannya karena diwakili dengan mekanik  $360^\circ$  serta ada delapan rotor pada konstruksi motor, sehingga menghasilkan mekanik  $45^\circ$  disetiap induktansinya. Pada Gambar 2 menunjukkan interval yang berbeda-beda,  $0 \leq \theta \leq \theta_1$  dan  $\theta_4 \leq \theta \leq \theta_5$  yaitu interval pertama yang kutub rotor dan stator berada di posisi *unaligned*, pada kondisi ini memiliki induktansinya kecil karena torsinya rendah. Tumpang tindih posisi kutub rotor dimulai pada interval kedua  $\theta_1 \leq \theta \leq \theta_2$  karena kutub rotor mulai *overlap* dan nilai induktansi maksimum. Interval ketiga  $\theta_2 \leq \theta \leq \theta_3$  kutub rotor dan statornya dalam posisi *aligned*, maka nilai induktansi menjadi maksimum. Pada interval keempat  $\theta_3 \leq \theta \leq \theta_4$  kutub rotor mulai berjauhan dengan stator. Setiap sudutnya dapat dihitung dengan persamaan dibawah ini:

$$\theta_1 = \frac{1}{2} \left[ \frac{2\pi}{Pr} - \beta s + \beta r \right] \quad (3)$$

$$\theta_2 = \theta_1 + \beta s \quad (4)$$

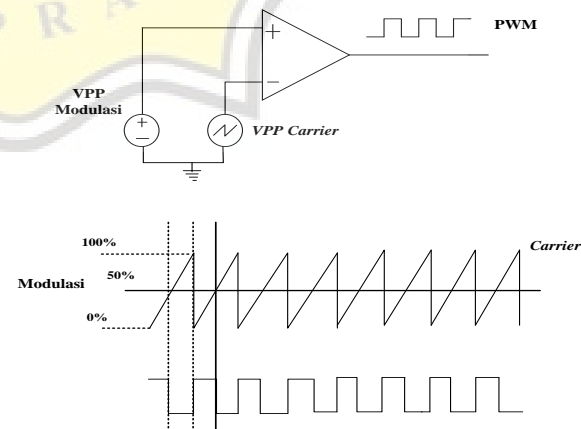
$$\theta_3 = \theta_2 + (\beta r - \beta s) \quad (5)$$

$$\theta_4 = \theta_3 + \beta s \quad (6)$$

di mana  $\theta$  sudut rotor,  $\beta r$  sudut lengkungan rotor,  $\beta s$  sudut lengkungan stator, dan  $Pr$  jumlah kutub rotor.

### B. KENDALI KECEPATAN

*Pulse Width Modulation* (*PWM*) yaitu suatu cara untuk mengatur lebar sempit suatu pulsa penyalakan pada setiap fasa *SRM*[10]. Salah satu cara untuk mengaturnya yaitu dengan mengatur sinyal modulasi pada sinyal *carrier*, makin besar nilai sinyal modulasi maka sinyal *PWM* makin lebar dan kecepatan motor akan berputar kencang, dan begitu juga sebaliknya[11][12].

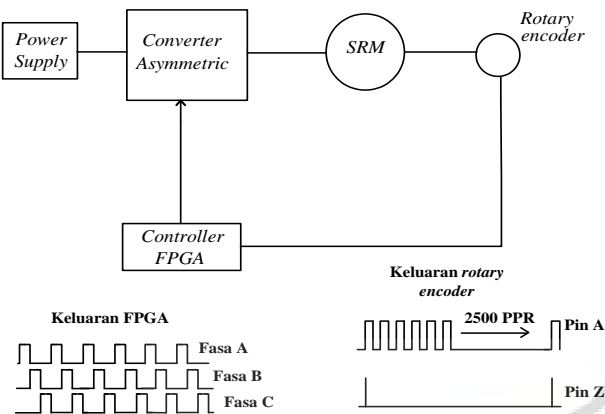


Gambar 3. Pengaturan *PWM*

Sinyal pulsa untuk penentuan posisi rotor yang dihasilkan *rotary encoder* akan dikirimkan ke kendali utama *FPGA* dan di program dengan mengatur lebar

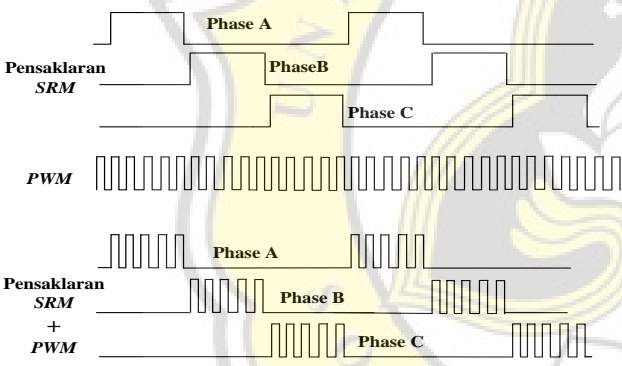
## Kendali Kecepatan Switched Reluctance Motor Berbasis FPGA

sinyal menggunakan pengaturan *duty cycle*. Jika VPP modulasi lebih lebar dari VPP carrier maka kondisi saklar penyalaan SRM akan hidup, dan begitu pula sebaliknya.



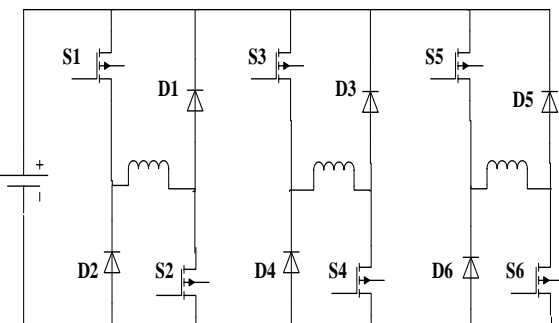
Gambar 4. Diagram blok hardware SRM

Pada saat PWM pensaklaran berjalan  $T_{on}$  fasa A,B dan C didalamnya terdapat PWM pengatur kecepatan, sehingga waktu penyalaan akan diatur dengan sinyal *duty cycle*. Berikut bentuk sinyal penyalaan SRM yang sudah diatur PWM ditampilkan pada gambar dibawah ini.



Gambar 5. Pensaklaran SRM dengan pengaturan PWM

Pada Gambar 5 keluaran PWM dengan pengaturan *duty cycle* 50%, menghasilkan lebar  $T_{on}$  yang sebanding dengan lebar  $T_{off}$ . Hasil dari perubahan lebar pulsa nantinya akan digunakan untuk sinyal penyalaan pada switching driver asimetris.

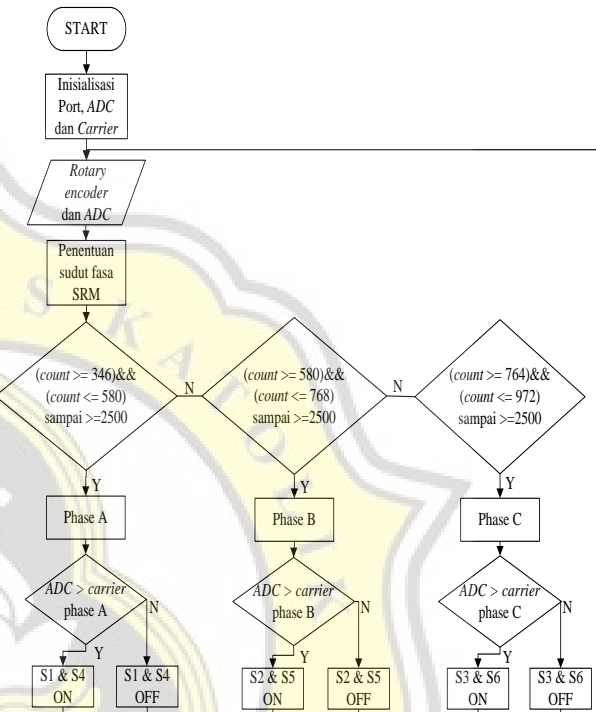


Gambar 6. Driver Asimetris

Untuk menjalankan SRM terdapat dua mode,

*magnetizing* adalah mode pertama yang pemberian eksitasinya untuk menyalaakan saklar S<sub>1</sub> dan S<sub>2</sub> di belitan fasa-A. *Demagnetizing* menjadi mode kedua dengan mematikan saklar S<sub>1</sub> dan S<sub>2</sub> arus yang tersimpan pada belitan stator akan mengalir melalui D<sub>2</sub> dan D<sub>1</sub> ke sumbernya. Pada kondisi tersebut tegangan di belitan fasa-A sama dengan masukan Vdc yang menghasilkan torsi positif jika diberikan pada saat induktansi fasa-A bertambah[13][14][15].

Berikut flowchart sistem kendali kecepatan SRM berbasis *FPGA*.

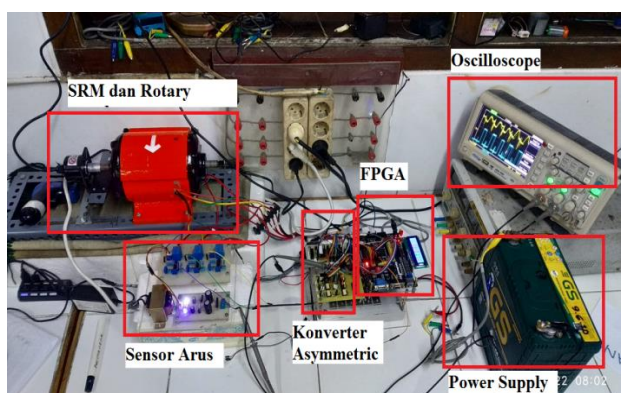


Gambar 7. Flowchart urutan penyalaan sistem kendali kecepatan SRM

Dari flowchart diatas dapat digunakan sebagai parameter pengujian *hardware switched reluctance motor*.

### III. HASIL DAN PEMBAHASAN

Guna mendukung penelitian ini maka dilakukan uji laboratorium sebagai validasi. Berdasarkan metode penelitian yang sudah ada pada sistem kendali kecepatan SRM, maka dilakukan pengujian pada *hardware SRM* di laboratorium.



Gambar 8. Hardware untuk pengambilan data

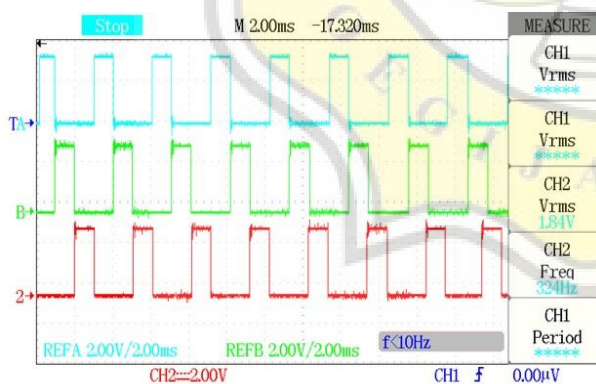
## Kendali Kecepatan *Switched Reluctance Motor* Berbasis *FPGA*

Pada Gambar 8 merupakan *hardware* kendali kecepatan motor yang terdiri dari *SRM* tiga fasa, *rotary encoder*, *FPGA*, konverter asimetris, rangkaian daya MOSFET. Dibawah ini adalah parameter *hardware* *switch reluctance motor* yang digunakan pada pengujian laboratorium disajikan pada Tabel 1.

Tabel 1. Parameter alat penelitian *SRM*

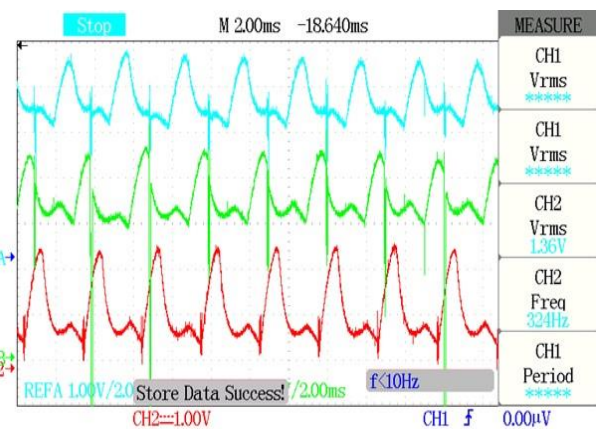
PARAMETER	NILAI	SATUAN
<b>Motor</b>		
Stator	12	-
Rotor	8	-
Resistansi	4.5	Ohm
Indukstansi	1.4	mH
Tegangan	12	Volt
<b>Rotary encoder single - ended</b>		
Pin A	2500	PPR
Pin Z	1	Impuls
Tegangan	5	Volt
<b>FPGA Cyclone IV EP4CE6E22C8N</b>		
Clock	50	Mhz
Memori	16	Mbit
Power Supply	5	Volt
<b>Konverter Asimetris 3 fasa</b>		
TLP		
MOSFET IRFP 250N		
Dc Link	12	Volt

Alat uji penelitian dapat diimplementasikan dengan menambahkan pengaturan *PWM* penyalaan pada tiap fasanya sesuai parameter alat *SRM* yang terdapat pada Tabel 1.



Gambar 9. Hasil pengujian sinyal *PWM* pada sinyal modulasi 1500

Pola pensaklaran yang terdapat dari Gambar 9 menunjukkan bahwa satu putaran terdapat delapan kali proses pola pensaklaran sekuensial disetiap fasa. Dalam proses pensaklarannya mengalami pergeseran fasa  $15^\circ$  yang berawal dari Fasa A, Fasa B, dan Fasa C, sehingga *SRM* dapat berjalan hingga optimal.

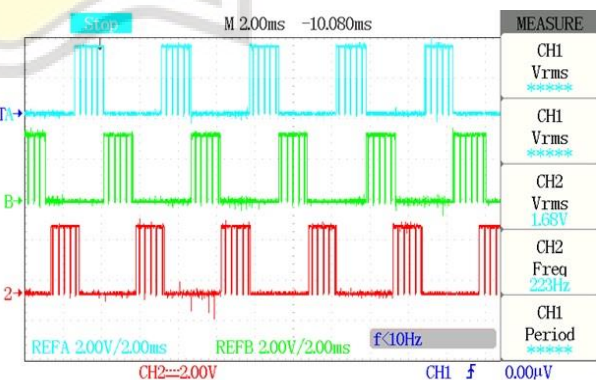


Gambar 10. Hasil pengujian arus pada sinyal modulasi 1500



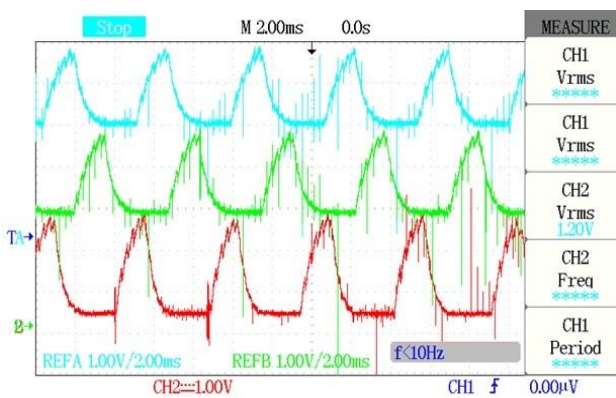
Gambar 11. Hasil pengukuran kecepatan pada sinyal modulasi 1500

Jika kecepatan putar motor semakin tinggi maka nilai *back-EMF* semakin besar nilainya, hal itu menandakan hasil keluaran daya yang dihasilkan sempurna seperti pada Gambar 10 saat *duty cycle* pada skala 100% menghasilkan arus yang tinggi dengan hasil kecepatan motor 2452 RPM.



Gambar 12. Hasil pengujian sinyal *PWM* pada kondisi sinyal modulasi 1300

## Kendali Kecepatan Switched Reluctance Motor Berbasis FPGA

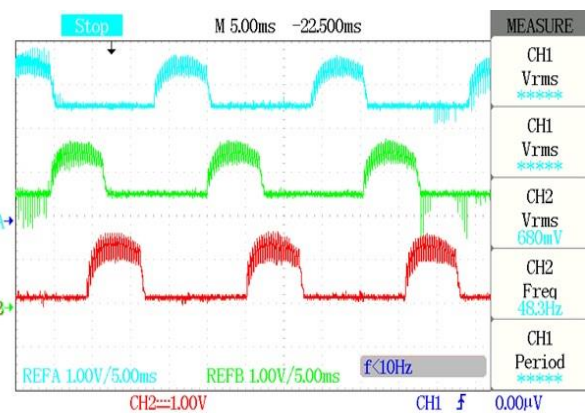


Gambar 13. Hasil pengujian arus pada sinyal modulasi 1300

Pada Gambar 12 bentuk *PWM* pensaklaran tiap fasa mulai terisi *PWM* pengubah kecepatan, sehingga bentuk sinyal penyalakan *SRM* mengalami perubahan lebar pulsa. Pada Gambar 13 bentuk arus cenderung lebih kecil karena kecepatan mulai menurun. Dengan sinyal modulasi 1300 menghasilkan kecepatan 1682 RPM.



Gambar 14. Hasil pengukuran kecepatan pada sinyal modulasi 1300



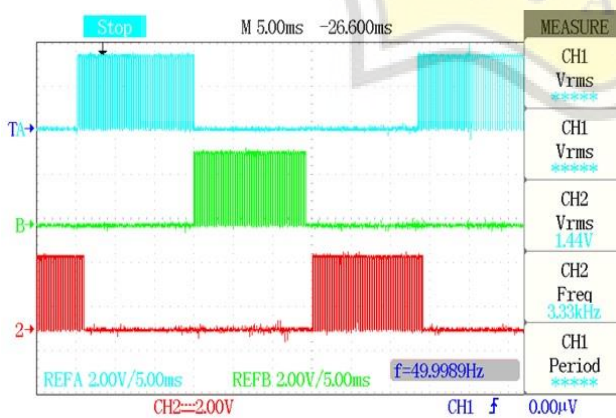
Gambar 16. Hasil pengujian arus pada sinyal modulasi 1000

Pada percobaan ketiga dengan mengatur sinyal modulasi 1000 dari sinyal *carrier* 1500 bentuk pensaklaran *SRM* saat posisi *on*, *duty cycle* didalamnya akan semakin kecil.



Gambar 17. Hasil pengukuran kecepatan pada sinyal modulasi 1000

## IV. KESIMPULAN



Gambar 15. Hasil pengujian sinyal *PWM* pada sinyal modulasi 1000

Pada pengujian ini dapat disimpulkan, bahwa pengaturan *PWM* pada pensaklaran dapat mempengaruhi kecepatan *SRM*. Proses kendali kecepatan *SRM* yaitu dengan mengatur *duty cycle* terjadi pada saat *T<sub>on</sub>* pensaklaran. Percobaan pada kondisi 1 dengan mengatur sinyal modulasi 1500 pada sinyal *carrier* 1500 atau *duty cycle* 100% dihasilkan kecepatan 2454 RPM, pada kondisi 2 sinyal modulasi 1300 pada sinyal *carrier* 1500 atau *duty cycle* 85% dihasilkan kecepatan 1682 RPM, lalu pada kondisi ke 3 dengan sinyal modulasi 1000 dan sinyal *carrier* 1500 atau *duty cycle* 65% dihasilkan kecepatan 610 RPM. Hal ini menunjukkan bahwa semakin kecil nilai sinyal modulasi dari kendali *FPGA* maka semakin rendah *duty cycle* dan RPM yang dihasilkan, dan sebaliknya semakin besar nilai sinyal modulasi maka semakin tinggi *duty cycle* dan RPM yang dihasilkan.

## UCAPAN TERIMA KASIH

Penelitian ini didanai oleh skema Penelitian Terapan Unggulan Perguruan Tinggi (PTUPT) tahun 2022.

**REFERENSI**

- |   |  |
|---|--|
| <p>[1] H. Cheng, Z. Wang, S. Yang, J. Huang, and X. Ge, "An Integrated SRM Powertrain Topology for Plug-In Hybrid Electric Vehicles with Multiple Driving and Onboard Charging Capabilities," <i>IEEE Trans. Transp. Electrif.</i>, vol. 6, no. 2, pp. 578–591, 2020, doi: 10.1109/TTE.2020.2987167.</p> <p>[2] C. Gan, J. Wu, Q. Sun, W. Kong, H. Li, and Y. Hu, "A Review on Machine Topologies and Control Techniques for Low-Noise Switched Reluctance Motors in Electric Vehicle Applications," <i>IEEE Access</i>, vol. 6, no. c, pp. 31430–31443, 2018, doi: 10.1109/ACCESS.2018.2837111.</p> <p>[3] Q. A. Al-Haija, M. Al-Ja'Fari, and M. Smadi, "A comparative study up to 1024 bit Euclid's GCD algorithm FPGA implementation and synthesizing," <i>Int. Conf. Electron. Devices, Syst. Appl.</i>, 2017, doi: 10.1109/ICEDSA.2016.7818535.</p> <p>[4] Y. Lan <i>et al.</i>, "Switched reluctance motors and drive systems for electric vehicle powertrains: State of the art analysis and future trends," <i>Energies</i>, vol. 14, no. 8, 2021, doi: 10.3390/en14082079.</p> <p>[5] A. D. Wardani, S. Riyadi, L. H. Pratomo, and F. B. Setiawan, "Peningkatan Efisiensi Kinerja Switched Reluctance Motor dengan Metode Pergeseran Sudut Fasa," <i>Teknik</i>, vol. 42, no. 1, pp. 253–259, 2021, doi: 10.14710/teknik.v42i3.33970.</p> <p>[6] A. P. Khedkar and P. S. Swami, "Comparative study of asimetric bridge and split AC supply konverter for switched reluctance motor," <i>6th Int. Conf. Comput. Power, Energy, Inf. Commun. ICCPEIC</i> 2017, vol. 2018-Janua, pp. 522–526, 2018, doi: 10.1109/ICCPEIC.2017.8290421.</p> <p>[7] S. Riyadi, "A simple method to control the excitation angle for switched reluctance motor," <i>Indones. J. Electr. Eng. Informatics</i>, vol. 9, no. 2, pp. 384–393, 2021, doi: 10.52549/ijeei.v9i2.2814.</p> | <p>[8] G. D. Wahyu and S. Riyadi, "PWM Control Strategy of Regenerative Braking to Maximize the Charging Current into the Battery in SRM Drive," <i>Proc. - 2019 Int. Semin. Appl. Technol. Inf. Commun. Ind. 4.0 Retrosp. Prospect. Challenges, iSemantic 2019</i>, pp. 523–527, 2019, doi: 10.1109/ISEMANTIC.2019.8884342.</p> <p>[9] S. Riyadi, "Control strategy for switched reluctance motor with rotary encoder based rotor position detection," <i>Adv. Electr. Electron. Eng.</i>, vol. 16, no. 3, pp. 261–270, 2018, doi: 10.15598/aeee.v16i3.2545.</p> <p>[10] Shihab, B. M., Che, H. S., &amp; Hew, W. P. Symmetrical six-phase PWM methods using similar and dissimilar zero-sequence signals injection. 4th IET Clean Energy and Technology Conference (CEAT 2016) . doi:10.1049/cp.2016.1335</p> <p>[11] X. Zan, Z. Jiang, K. Ni, W. Zhang, Y. Gong, and N. Wu, "Modular battery management for SRM drives in hybrid vehicles based on a novel modular konverter," <i>IEEE Access</i>, vol. 8, pp. 136296–136306, 2020, doi: 10.1109/ACCESS.2020.3011451.</p> <p>[12] M. Kulon, K. Majalengka, K. Majalengka, and J. Barat, "Analisis pengaruh dutycycle dan frekuensi terhadap kecepatan motor listrik," no. 103, 2020.</p> <p>[13] R. A. Nugroho, "Perbandingan Penyalaan Sudut Fasa Pada SRG Guna Meningkatkan Kinerja Untuk Memaksimalkan Keluaran Daya," <i>Cyclotron</i>, vol. 4, no. 2, pp. 13–17, 2021, doi: 10.30651/cl.v4i2.7451.</p> <p>[14] R. AMALIA, S. RIYADI, F. B. SETIAWAN, and L. H. PRATOMO, "Peningkatan Kinerja Switched Reluctance Generator dengan Pergeseran Sudut Penyalaan," <i>ELKOMIKA J. Tek. Energi Elektr. Tek. Telekomun. Tek. Elektron.</i>, vol. 9, no. 3, p. 690, 2021, doi: 10.26760/elkomika.v9i3.690.</p> <p>[15] N. Kusumaningrum, S. Riyadi, L. H. Pratomo, and F. B. Setyawan, "Optimalisasi Penggereman Regeneratif dengan Perubahan Sudut Eksitasi pada Pulsa Tunggal," <i>J. Tek. Elektro</i>, vol. 13, no. 1, pp. 1–9, 2021, doi: 10.15294/jte.v13i1.28600.</p> |
|---|--|

Copyright @2016 PROtek : Jurnal Ilmiah Teknik Elektro  
 lisensi Creative Commons Attribution 4.0 International Licensi

PAPER NAME

17.F1.0009\_Sulaiman

AUTHOR

Sulaiman Sulaiman

WORD COUNT

4728 Words

CHARACTER COUNT

29551 Characters

PAGE COUNT

42 Pages

FILE SIZE

3.2MB

SUBMISSION DATE

Jun 23, 2022 12:42 PM GMT+7

REPORT DATE

Jun 23, 2022 12:43 PM GMT+7

**● 19% Overall Similarity**

The combined total of all matches, including overlapping sources, for each database.

- 18% Internet database
- Crossref database
- 3% Submitted Works database
- 0% Publications database
- Crossref Posted Content database

**● Excluded from Similarity Report**

- Bibliographic material
- Cited material
- Manually excluded text blocks
- Quoted material
- Small Matches (Less than 10 words)